

Развитие методов исследования эффектов больших глюонных плотностей в КХД

Грабовский Андрей Владимирович

ИЯФ СО РАН

Сессия-конференция Секции ядерной физики ОФН РАН

11 марта 2020 г.

Содержание

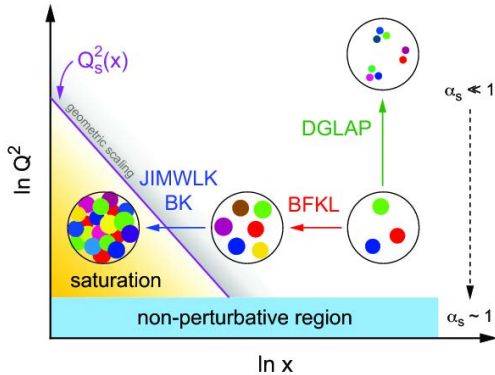
1 Режим больших глюонных плотностей

2 Задачи

- Уравнения эволюции
- Импакт факторы
- Связь с подходом БФКЛ

3 Заключение

Режим больших глюонных плотностей



$$x = Q^2/s$$

Q — масштаб p_\perp

Момент насыщения

$$Q_s^2 \sim GeV^2 \frac{A^{1/3}}{x^\lambda}$$

геометрический скейлинг

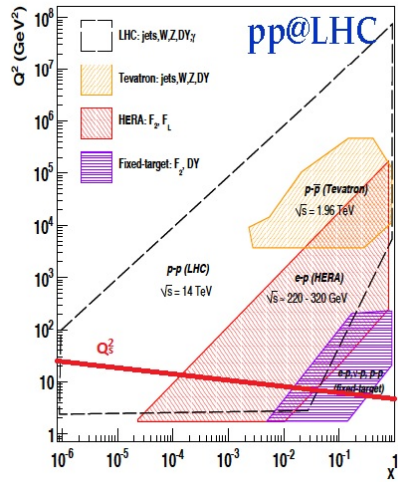
$$\sigma \sim \frac{f(Q_s/Q)}{Q^2}$$

HERA с протонами / RHIC с ядрами

$$Q_s \sim 1 - 2 GeV$$

LHC $Q_s \sim 2 - 4 GeV$

Режим больших глюонных плотностей



Момент насыщения

$$Q_s^2 \sim \text{GeV}^2 \frac{A^{1/3}}{x^\lambda}$$

$$x = Q^2/s$$

геометрический скейлинг

$$\sigma \sim \frac{f(Q_s/Q)}{Q^2}$$

HERA с протонами / RHIC с ядрами

$$Q_s \sim 1 - 2 \text{ GeV}$$

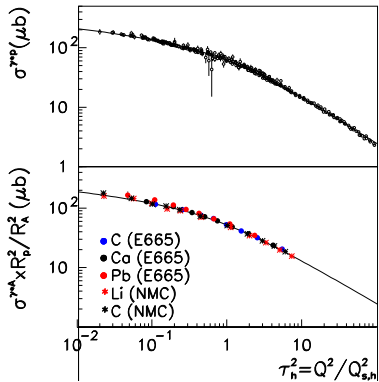
$$\text{LHC } Q_s \sim 2 - 4 \text{ GeV}$$

Геометрический скейлинг

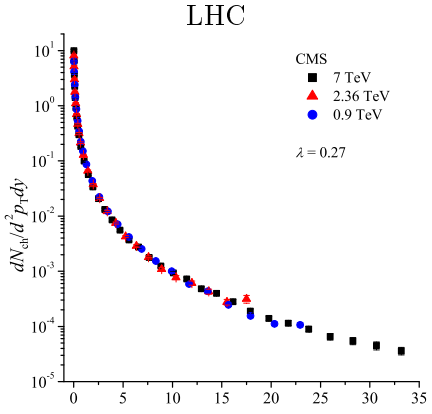
$$\sigma \sim \frac{f(Q_s/Q)}{Q^2}$$

$$Q_s^2 \sim 0.4 GeV^2 \frac{A^{1/3}}{x^\lambda}$$

HERA и неподвижная мишень

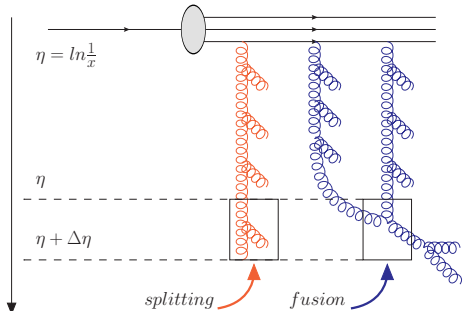


$$x < 0.01, \quad 0.045 GeV^2 < Q^2 < 450 GeV^2$$



$$|\eta| < 2.4$$

Баланс процессов слияния - расщепления



вероятность испускания глюона

$$P_1 \sim \alpha_s \frac{dx}{x} \frac{d\vec{k}}{\vec{k}^2} \implies P_n \sim (\alpha_s \ln\frac{1}{x})^n$$

глюонные ф.р.:

$$\begin{aligned} \text{проинтегрированная } xG \\ \text{непроинтегрированная } \phi \\ xG(x, Q^2) = \int^{Q^2} d^2 k \phi(x, k_\perp) \end{aligned}$$

уравнение БФКЛ:

$$\frac{\partial \phi(x, k_\perp)}{\partial \ln\frac{1}{x}} = K \otimes \phi(x, k_\perp) \implies \phi \sim x^\lambda, xG \sim x^\lambda$$

сечение процесса слияния глюонов $\sigma \sim \frac{\alpha_s}{Q^2}$

\implies насыщение $\rho_{glue}\sigma \sim 1$

поперечная плотность глюонов $\rho_{glue} \sim \frac{xG}{\pi R_h^2}$

$$Q_s^2 \sim \alpha_s \frac{xG}{\pi R_h^2} \sim Q_0^2 \frac{A^{1/3}}{x^\lambda}$$

уравнение ГЛР (ДЛА):

$$\frac{\partial^2 xG}{\partial \ln\frac{1}{x} \partial \ln Q^2} = \frac{\alpha_s N_c}{\pi} xG - \frac{\alpha_s^2 N_c}{R_h^2 Q^2} [xG]^2$$

БФКЛ: Фадин Кураев Липатов 1975, Балицкий Липатов 1978, ГЛР: Грибов Левин Рыскин 1981, Мюллер Кью 1986

Вильсоновские линии в поле ударной волны

Эйкональное приближение — быстрая частица движется во внешнем поле мишени

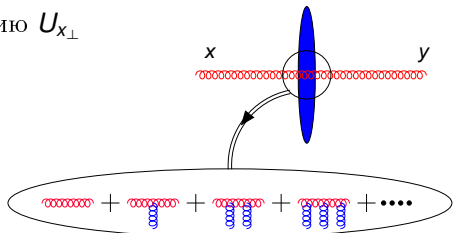
$$U_{x_\perp} = \mathcal{P} e^{ig \int_{-\infty}^{\infty} dz^+ \mathcal{A}^-(x_\perp, z^+)} = 1 + ig \int dz^+ \mathcal{A}^-(x_\perp, z^+) + \frac{(ig)^2}{2} \int dz^+ dz'^+ \mathcal{A}^-(x_\perp, z'^+) \mathcal{A}^-(x_\perp, z^+) + \dots$$

- взаимодействие факторизуется в вильсоновскую линию U_{x_\perp}

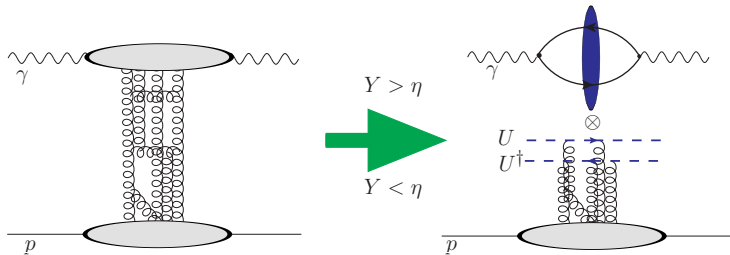
- калибровочно инвариантные степени свободы — корреляторы вильсоновских линий $tr[U_{x_\perp} U_{y_\perp}^\dagger] \dots$

- внешнее поле быстрой частицы $\sim \delta^{\mu-} \delta(x^+) \mathcal{A}(x_\perp)$

- пропагаторы во внешнем поле $\sim D(x^+ < 0) \otimes U_{x_\perp} \otimes D(x^+ > 0)$



Структура амплитуды: высокоэнергетическое операторное разложение (ВЭОР)



$$\sigma_{\gamma^* p} \sim \int dr_1 dr_2 \Phi_{\gamma^*}^\eta(r_1, r_2) \langle p | N_c - \text{tr}(U_{r_1} U_{r_2}^\dagger)^n | p \rangle$$

Φ_{γ^*} — импакт фактор

$\text{tr}(U_1 U_2^\dagger)$ — дипольный оператор

η — масштаб разделения быстрот

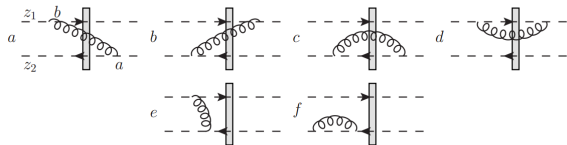
глюоны с $p^+ > p_\gamma^+ e^\eta$ в импакт факторе

глюоны с $p^+ < p_\gamma^+ e^\eta$ в вильсоновских линиях.

Балицкий 1996

Уравнение Балицкого - Ковчегова

$$U_{\vec{z}}^\eta = \mathbf{P} e^{ig \int_{-\infty}^{+\infty} dz^+ \mathcal{A}_\eta^- (z^+, \vec{z})} \quad \mathcal{A}_\eta^- = \int \frac{d^4 p}{(2\pi)^4} e^{-ipz} \mathcal{A}^- (p) \theta(p_\gamma^+ e^\eta - p^+)$$



$$\frac{\partial \text{tr}(U_1 U_2^\dagger)}{\partial \eta} = \frac{\alpha_s}{2\pi^2} \int d\vec{z}_4 \frac{\vec{z}_{12}^2}{\vec{z}_{14}^2 \vec{z}_{42}^2} \left[\text{tr}(U_1 U_4^\dagger) \text{tr}(U_4 U_2^\dagger) - N_c \text{tr}(U_1 U_2^\dagger) \right].$$

Иерархия уравнений Балицкого — уравнения для $\frac{\partial U_i^j}{\partial \eta}$, $\frac{\partial U_{1i}^j U_{2k}^l}{\partial \eta}$, $\frac{\partial U_{1i}^j U_{2k}^l U_{3h}^m}{\partial \eta} \dots \sim \text{JIMWLK}$

Уравнение Балицкого Ковчегова

$$\mathbf{U}_{12} = \frac{1}{N_c} \text{Tr} \left(U_1 U_2^\dagger \right) - 1$$

$$\frac{d\mathbf{U}_{12}}{d\eta} = \frac{\alpha_s N_c}{2\pi^2} \int d\vec{z}_3 \frac{\vec{z}_{12}^2}{\vec{z}_{13}^2 \vec{z}_{23}^2} [\mathbf{U}_{13} + \mathbf{U}_{32} - \mathbf{U}_{12} - \mathbf{U}_{13} \mathbf{U}_{32}]$$

Линейная часть — уравнение Балицкого-Фадина-Кураева-Липатова в мебиусовской форме

Нелинейная часть — насыщение

Фадин Кураев Липатов 1975, 1976, 1977, Балицкий Липатов 1978, Фадин Фиоре Папа 2007

СГЛП: Фадин Липатов 1998, Фадин Фиоре 2005

Балицкий 1996, Ковчегов 1999 СГЛП: Балицкий Кирилли 2007–2013

Для конкретного процесса в Реждевском пределе:

Структура ВЭОР

- 1 выбор вильсоновского оператора для наблюдаемой величины:
 $O[U] = \text{tr}(U_1 U_2^\dagger), \text{tr}(U_1 U_2^\dagger U_3 U_4^\dagger) \dots$
- 2 построение уравнения эволюции для этого оператора $\frac{\partial O[U]}{\partial \eta} = \dots$
- 3 решение этого уравнения с н. у. $\eta \sim \eta_{\text{target}}$ для $\eta \sim \eta_{\text{projectile}}$
- 4 вычисление жесткого матричного элемента - импакт фактора $\Phi^{\eta_{\text{projectile}}}$
- 5 свертка импакт фактора и матр. элемента вильсоновского оператора

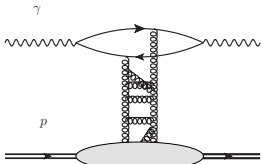
$$iM_{fi} \sim \Phi^{\eta_{\text{projectile}}} \otimes \langle h' | O[U]^{\eta_{\text{projectile}}} | h \rangle$$

Задачи

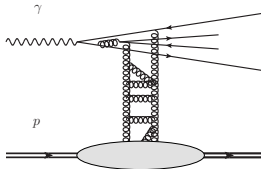
- 1 выбор оператора для процесса
- 2 построение уравнений эволюции в ГЛП, СГЛП
- 3 решение уравнений эволюции
- 4 вычисление импакт факторов ГП, СГП
- 5 сборка сечений
- 6 сравнение с экспериментальными данными и результатами других подходов

Правильно ли КЦС описывает физику больших глюонных плотностей?

Выбор оператора. Примеры.

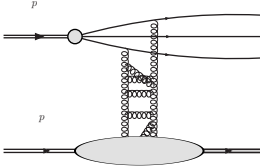


$$tr(U_1 U_2^\dagger)$$

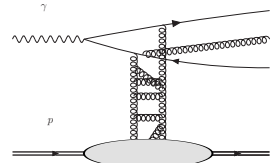


$$tr(U_1 U_2^\dagger U_3 U_4^\dagger)$$

$$tr(U_1 U_2^\dagger) tr(U_3 U_4^\dagger)$$



$$U_1 \cdot U_2 \cdot U_3$$



$$tr(U_1 U_2^\dagger)$$

$$tr(U_1 U_2^\dagger) tr(U_3 U_2^\dagger)$$

Построение уравнений эволюции

- ГЛП: $\frac{\partial U_j^i}{\partial \eta} = \alpha_s \hat{K} U_j^i, \frac{\partial U_j^i U_l^k}{\partial \eta} = \alpha_s \hat{K} U_j^i U_l^k, \frac{\partial \text{tr}(U_1 U_2^\dagger)}{\partial \eta} = \alpha_s \hat{K} \text{tr}(U_1 U_2^\dagger)$ Балицкий 96

Барионная вильсоновская петля (БВП): $B_{123} = \varepsilon^{i'j'h'} \varepsilon_{ijh} U_{z_1 i'}^i U_{z_2 j'}^j U_{z_3 h'}^h = U_1 \cdot U_2 \cdot U_3$

уравнение для B не замкнуто

Прашалович Ростворовский 98

линейное уравнение, С-нечетная часть

Хатта Янку Итакура МакЛерран 2005

получено уравнение эволюции для B в замкнутом виде

Герасимов АГ 2012

↳ все нелинейные поправки к уравнению эволюции для оддерона

↳ описание бариона в рамках ВЭОР в разреженном режиме

- СГЛП: $\frac{\partial \text{tr}(U_1 U_2^\dagger)}{\partial \eta} = (\alpha_s \hat{K} + \alpha_s^2 \hat{K}_1) \text{tr}(U_1 U_2^\dagger)$ Балицкий Кирилли 2007-2010

$$\frac{\partial U_j^i U_l^k U_n^m}{\partial \eta} = \alpha_s^2 \hat{K}_1 U_j^i U_l^k U_n^m \quad \text{АГ 2013}$$

$$\frac{\partial U_j^i}{\partial \eta} = (\alpha_s \hat{K} + \alpha_s^2 \hat{K}_1) U_j^i, \quad \frac{\partial U_j^i U_l^k}{\partial \eta} = (\alpha_s \hat{K} + \alpha_s^2 \hat{K}_1) U_j^i U_l^k$$

полная иерархия в СГЛП

Балицкий Кирилли 2013

↳ гамильтониан JIMWLK

Ковнер Люблинский Милюян 2014

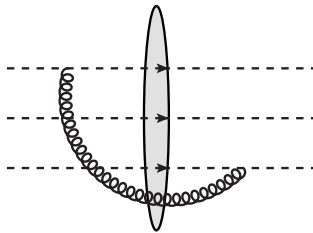
↳ уравнение для барионной вильсоновской петли

Балицкий АГ 2014

↳ уравнения для $\text{tr}(U_1 U_2^\dagger) \text{tr}(U_3 U_4^\dagger)$ и $\text{tr}(U_1 U_2^\dagger U_3 U_4^\dagger)$

АГ 2015

Эволюция барионной вильсоновской петли



$$\begin{aligned} \frac{\partial B_{123}^\eta}{\partial \eta} = & \frac{\alpha_s 3}{4\pi^2} \int d\vec{z}_4 \left[\frac{\vec{z}_{12}^2}{\vec{z}_{41}^2 \vec{z}_{42}^2} (-B_{123}^\eta + \right. \\ & \left. + \frac{1}{6} (B_{144}^\eta B_{324}^\eta + B_{244}^\eta B_{314}^\eta - B_{344}^\eta B_{214}^\eta)) + (1 \leftrightarrow 3) + (2 \leftrightarrow 3) \right]. \end{aligned}$$

В пределе больших N_c $\langle B_{144}^\eta B_{324}^\eta \rangle \rightarrow \langle B_{144}^\eta \rangle \langle B_{324}^\eta \rangle$ уравнение имеет замкнутый вид

С-четная часть — Померон

Строим С-четную и С-нечетную функции с помощью антибарионного оператора $B_{1\bar{2}\bar{3}}^\eta = U_1^\dagger \cdot U_2^\dagger \cdot U_3^\dagger$

$$B_{123}^+ = B_{123}^\eta + B_{1\bar{2}\bar{3}}^\eta - 12, \quad B_{123}^- = B_{123}^\eta - B_{1\bar{2}\bar{3}}^\eta$$

$$B_{123}^+ = \frac{1}{2}(B_{133}^+ + B_{211}^+ + B_{322}^+) + \tilde{B}_{123}^+,$$

где \tilde{B}_{123}^+ стартует с 4-глюонного обмена. В SU(3)

$$B_{ij} = 2\text{tr}(U_j U_i^\dagger)$$

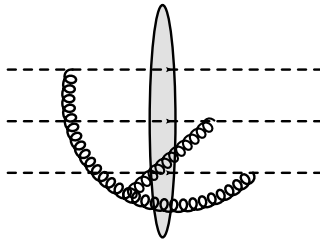
$\implies B_{123}^+$ распадается на 3 С-четных дипольных функции Грина и **поправку СГП.**

С-нечетная часть — оддерон

$$\begin{aligned} \frac{\partial B_{123}^-}{\partial \eta} = & \frac{\alpha_s 3}{4\pi^2} \int d\vec{z}_4 \frac{\vec{z}_{12}^2}{\vec{z}_{14}^2 \vec{z}_{42}^2} \left[B_{423}^- + B_{143}^- - B_{123}^- \right. \\ & - B_{124}^- - B_{443}^- + B_{424}^- + B_{144}^- + \frac{1}{12} (B_{144}^+ B_{324}^- + B_{244}^+ B_{314}^- - B_{344}^+ B_{214}^-) \\ & \left. + \frac{1}{12} (B_{144}^- B_{324}^+ + B_{244}^- B_{314}^+ - B_{344}^- B_{214}^+) \right] + (2 \leftrightarrow 3) + (1 \leftrightarrow 3). \end{aligned}$$

Линейная часть совпадает с уравнением эволюции для ф. Грина оддерона
Хатта, Янку, Итакура, МакЛерран 2005, совпадающим с уравнением
Бартельса-Квичинского-Прашаловича Б 1980, К П 1980.

Связная часть ядра в СГП



$$\begin{aligned}
 K_{NLO}^{conn} \otimes B_{123}^\eta &= \frac{\alpha_s^2}{8\pi^3} \int d\vec{z}_0 \left[\frac{(\vec{z}_{10}\vec{z}_{20})}{\vec{z}_{10}^2\vec{z}_{20}^2} - \frac{(\vec{z}_{30}\vec{z}_{20})}{\vec{z}_{30}^2\vec{z}_{20}^2} \right] \ln \frac{\vec{z}_{30}^2}{\vec{z}_{31}^2} \ln \frac{\vec{z}_{10}^2}{\vec{z}_{31}^2} (B_{100}B_{320} - B_{300}B_{210}) \\
 &+ \frac{\alpha_s^2}{4\pi^4} \int d\vec{z}_0 d\vec{z}_4 \{(U_2 U_0^\dagger U_1) \cdot U_4 \cdot (U_0 U_4^\dagger U_3) + (U_3 U_4^\dagger U_0) \cdot U_4 \cdot (U_1 U_0^\dagger U_2) - (1, 4 \leftrightarrow 3, 0)\} \\
 &\times \left[\frac{1}{2\vec{z}_{04}^2} \frac{(\vec{z}_{10}\vec{z}_{34})}{\vec{z}_{10}^2\vec{z}_{34}^2} + \frac{(\vec{z}_{10}\vec{z}_{40})}{\vec{z}_{10}^2\vec{z}_{40}^2} \frac{(\vec{z}_{24}\vec{z}_{34})}{\vec{z}_{24}^2\vec{z}_{34}^2} + \frac{(\vec{z}_{04}\vec{z}_{34})}{\vec{z}_{04}^2\vec{z}_{34}^2} \frac{(\vec{z}_{10}\vec{z}_{20})}{\vec{z}_{10}^2\vec{z}_{20}^2} - \frac{(\vec{z}_{20}\vec{z}_{10})}{\vec{z}_{02}^2\vec{z}_{01}^2} \frac{(\vec{z}_{24}\vec{z}_{34})}{\vec{z}_{24}^2\vec{z}_{34}^2} \right] \ln \frac{\vec{z}_{02}^2}{\vec{z}_{24}^2} \\
 &\quad +(2 \leftrightarrow 1) + (2 \leftrightarrow 3).
 \end{aligned}$$

Полное уравнение в СГП

Добавив вклад эволюции 2 вильсоновских линий из дипольного ядра в СГП
Балицкий Кирилл 2013

$$\begin{aligned} \frac{\partial B_{123}}{\partial \eta} = & \frac{\alpha_s(\mu^2)}{8\pi^2} \int d\vec{r}_0 \left[(B_{100}B_{320} + B_{200}B_{310} - B_{300}B_{210} - 6B_{123}) \right. \\ & \times \left\{ \frac{\vec{r}_{12}^2}{\vec{r}_{01}^2 \vec{r}_{02}^2} - \frac{3\alpha_s}{4\pi}\beta \left[\ln\left(\frac{\vec{r}_{01}^2}{\vec{r}_{02}^2}\right) \left(\frac{1}{\vec{r}_{02}^2} - \frac{1}{\vec{r}_{01}^2} \right) - \frac{\vec{r}_{12}^2}{\vec{r}_{01}^2 \vec{r}_{02}^2} \ln\left(\frac{\vec{r}_{12}^2}{\tilde{\mu}^2}\right) \right] \right\} \\ & - \frac{\alpha_s}{\pi} \ln \frac{\vec{r}_{20}^2}{\vec{r}_{21}^2} \ln \frac{\vec{r}_{10}^2}{\vec{r}_{21}^2} \left\{ \frac{1}{2} \left[\frac{\vec{r}_{13}^2}{\vec{r}_{10}^2 \vec{r}_{30}^2} - \frac{\vec{r}_{32}^2}{\vec{r}_{30}^2 \vec{r}_{20}^2} \right] (B_{100}B_{320} - B_{200}B_{310}) \right. \\ & \left. - \frac{\vec{r}_{12}^2}{\vec{r}_{10}^2 \vec{r}_{20}^2} \left(9B_{123} - \frac{1}{2} [2(B_{100}B_{320} + B_{200}B_{130}) - B_{300}B_{120}] \right) \right\} + (1 \leftrightarrow 3) + (2 \leftrightarrow 3) \Big] + \dots \end{aligned}$$

Здесь

$$\beta \ln \frac{1}{\tilde{\mu}^2} = \left(\frac{11}{3} - \frac{2}{3} \frac{n_f}{3} \right) \ln \left(\frac{\mu^2}{4e^{2\psi(1)}} \right) + \frac{67}{9} - \frac{\pi^2}{3} - \frac{10}{9} \frac{n_f}{3}.$$

Полное уравнение в СГП

$$\begin{aligned}
& -\frac{\alpha_s^2}{8\pi^4} \int d\vec{r}_0 d\vec{r}_4 \left[\{\tilde{L}_{12} \left(U_0 U_4^\dagger U_2 \right) \cdot \left(U_1 U_0^\dagger U_4 \right) \cdot U_3 \right. \\
& + L_{12} \left[\left(U_0 U_4^\dagger U_2 \right) \cdot \left(U_1 U_0^\dagger U_4 \right) \cdot U_3 + \text{tr} \left(U_0 U_4^\dagger \right) \left(U_1 U_0^\dagger U_2 \right) \cdot U_3 \cdot U_4 \right. \\
& \quad \left. - \frac{3}{4} [B_{144} B_{234} + B_{244} B_{134} - B_{344} B_{124}] + \frac{1}{2} B_{123} \right] \\
& + (M_{13} - M_{12} - M_{23} + M_2^{13}) \left[\left(U_0 U_4^\dagger U_3 \right) \cdot \left(U_2 U_0^\dagger U_1 \right) \cdot U_4 \right. \\
& + \left. \left. \left(U_1 U_0^\dagger U_2 \right) \cdot \left(U_3 U_4^\dagger U_0 \right) \cdot U_4 \right] + (\text{all 5 permutations } 1 \leftrightarrow 2 \leftrightarrow 3) \} + (0 \leftrightarrow 4) \right] \\
& - \frac{\alpha_s^2 n_f}{16\pi^4} \int d\vec{r}_0 d\vec{r}_4 \left[\left\{ \left(\frac{1}{3} (U_1 U_0^\dagger U_4 + U_4 U_0^\dagger U_1) \cdot U_2 \cdot U_3 - \frac{1}{9} B_{123} \text{tr}(U_0^\dagger U_4) \right. \right. \right. \\
& + (U_1 U_0^\dagger U_2) \cdot U_3 \cdot U_4 + \frac{1}{6} B_{123} - \frac{1}{4} (B_{013} B_{002} + B_{001} B_{023} - B_{012} B_{003}) \\
& \quad \left. \left. \left. + (1 \leftrightarrow 2) \right) + (0 \leftrightarrow 4) \right\} L_{12}^q + (1 \leftrightarrow 3) + (2 \leftrightarrow 3) \right].
\end{aligned}$$

Полное уравнение в СГП

Померонное ядро $L_{12}(0 \leftrightarrow 4) = L_{12}$

$$L_{12} = \left[\frac{1}{\vec{r}_{01}^2 \vec{r}_{24}^2 - \vec{r}_{02}^2 \vec{r}_{14}^2} \left(-\frac{\vec{r}_{12}^4}{8} \left(\frac{1}{\vec{r}_{01}^2 \vec{r}_{24}^2} + \frac{1}{\vec{r}_{02}^2 \vec{r}_{14}^2} \right) + \frac{\vec{r}_{12}^2}{\vec{r}_{04}^2} - \frac{\vec{r}_{02}^2 \vec{r}_{14}^2 + \vec{r}_{01}^2 \vec{r}_{24}^2}{4 \vec{r}_{04}^4} \right) \right. \\ \left. + \frac{\vec{r}_{12}^2}{8 \vec{r}_{04}^2} \left(\frac{1}{\vec{r}_{02}^2 \vec{r}_{14}^2} - \frac{1}{\vec{r}_{01}^2 \vec{r}_{24}^2} \right) \right] \ln \left(\frac{\vec{r}_{01}^2 \vec{r}_{24}^2}{\vec{r}_{14}^2 \vec{r}_{02}^2} \right) + \frac{1}{2 \vec{r}_{04}^4}. \\ L_{12}^q = \frac{1}{\vec{r}_{04}^4} \left\{ \frac{\vec{r}_{02}^2 \vec{r}_{14}^2 + \vec{r}_{01}^2 \vec{r}_{24}^2 - \vec{r}_{04}^2 \vec{r}_{12}^2}{2(\vec{r}_{02}^2 \vec{r}_{14}^2 - \vec{r}_{01}^2 \vec{r}_{24}^2)} \ln \left(\frac{\vec{r}_{02}^2 \vec{r}_{14}^2}{\vec{r}_{01}^2 \vec{r}_{24}^2} \right) - 1 \right\}.$$

2-точечный вклад в оддеронное ядро $\tilde{L}_{12}(0 \leftrightarrow 4) = -\tilde{L}_{12}$

$$\tilde{L}_{12} = \frac{\vec{r}_{12}^2}{8} \left[\frac{\vec{r}_{12}^2}{\vec{r}_{01}^2 \vec{r}_{02}^2 \vec{r}_{14}^2 \vec{r}_{24}^2} - \frac{1}{\vec{r}_{01}^2 \vec{r}_{04}^2 \vec{r}_{24}^2} - \frac{1}{\vec{r}_{02}^2 \vec{r}_{04}^2 \vec{r}_{14}^2} \right] \ln \left(\frac{\vec{r}_{01}^2 \vec{r}_{24}^2}{\vec{r}_{14}^2 \vec{r}_{02}^2} \right).$$

Новые структуры

$$M_{12} = \frac{\vec{r}_{12}^2}{16} \left[\frac{\vec{r}_{12}^2}{\vec{r}_{01}^2 \vec{r}_{02}^2 \vec{r}_{14}^2 \vec{r}_{24}^2} - \frac{1}{\vec{r}_{01}^2 \vec{r}_{04}^2 \vec{r}_{24}^2} - \frac{1}{\vec{r}_{02}^2 \vec{r}_{04}^2 \vec{r}_{14}^2} \right] \ln \left(\frac{\vec{r}_{01}^2 \vec{r}_{02}^2}{\vec{r}_{14}^2 \vec{r}_{24}^2} \right). \\ M_2^{13} = \frac{1}{4 \vec{r}_{01}^2 \vec{r}_{34}^2} \left(\frac{\vec{r}_{12}^2 \vec{r}_{23}^2}{\vec{r}_{02}^2 \vec{r}_{24}^2} - \frac{\vec{r}_{14}^2 \vec{r}_{23}^2}{\vec{r}_{04}^2 \vec{r}_{24}^2} - \frac{\vec{r}_{03}^2 \vec{r}_{12}^2}{\vec{r}_{02}^2 \vec{r}_{04}^2} + \frac{\vec{r}_{13}^2}{\vec{r}_{04}^2} \right) \ln \left(\frac{\vec{r}_{02}^2}{\vec{r}_{24}^2} \right).$$

Квазиконформное уравнение

Получено ядро уравнения эволюции в квазиконформном виде в базисе составных конформных операторов

Балицкий Кирилл 2009

$$O^{conf} = O + \frac{1}{2} \frac{\partial O}{\partial \eta} \Bigg|_{\frac{\vec{r}_{mn}^2}{\vec{r}_{im}^2 \vec{r}_{in}^2} \rightarrow \frac{\vec{r}_{mn}^2}{\vec{r}_{im}^2 \vec{r}_{in}^2} \ln \left(\frac{\vec{r}_{mn}^2 a}{\vec{r}_{im}^2 \vec{r}_{in}^2} \right)} ,$$

Составной конформный барионный оператор

$$\begin{aligned} B_{123}^{conf} = & B_{123} + \frac{\alpha_s 3}{8\pi^2} \int d\vec{r}_4 \left[\frac{\vec{r}_{12}^2}{\vec{r}_{41}^2 \vec{r}_{42}^2} \ln \left(\frac{a \vec{r}_{12}^2}{\vec{r}_{41}^2 \vec{r}_{42}^2} \right) \right. \\ & \times (-B_{123} + \frac{1}{6} (B_{144} B_{324} + B_{244} B_{314} - B_{344} B_{214})) \\ & \left. + (1 \leftrightarrow 3) + (2 \leftrightarrow 3) \right] . \end{aligned}$$

Линеаризованное уравнение

Получено линеаризованное уравнение для B_{123}^{conf} .

Линеаризованное уравнение эволюции для С-нечетной части дипольного опреатора $B_{122}^- = 2tr(U_1 U_2^\dagger) - 2tr(U_1^\dagger U_2)$

$$\begin{aligned} \frac{\partial B_{122}^{-conf}}{\partial \eta} &\stackrel{3g}{=} \frac{3\alpha_s(\mu^2)}{2\pi^2} \int d\vec{r}_0 (B_{100}^{-conf} + B_{220}^{-conf} - B_{122}^{-conf}) \\ &\times \left(\frac{\vec{r}_{12}^2}{\vec{r}_{01}^2 \vec{r}_{02}^2} - \frac{3\alpha_s}{4\pi} \beta \left[\ln\left(\frac{\vec{r}_{01}^2}{\vec{r}_{02}^2}\right) \left(\frac{1}{\vec{r}_{02}^2} - \frac{1}{\vec{r}_{01}^2} \right) - \frac{\vec{r}_{12}^2}{\vec{r}_{01}^2 \vec{r}_{02}^2} \ln\left(\frac{\vec{r}_{12}^2}{\tilde{\mu}^2}\right) \right] \right) \\ &- \frac{9\alpha_s^2}{2\pi^4} \int d\vec{r}_0 d\vec{r}_4 \tilde{L}_{12}^C B_{044}^- + \frac{27\alpha_s^2}{2\pi^2} \zeta(3) B_{122}^- \\ &- \frac{\alpha_s^2 n_f}{12\pi^4} \int d\vec{r}_0 d\vec{r}_4 \{(2B_{014}^- - B_{001}^- - B_{144}^-) - (2B_{024}^- - B_{002}^- - B_{244}^-)\} L_{12}^q. \end{aligned}$$

содержит недипольные барионные операторы в кварковой части.

Решение уравнений эволюции

■ линейное уравнение:

решение уравнения БФКЛ в ГЛП для рассеяния на произвольный угол [Липатов 1986](#)
решение уравнения БФКЛ в СГЛП для рассеяния вперед [Ковчегов Кирилли 2013 АГ 2013](#)

↳ полное сечение $\gamma^*\gamma^*$ рассеяния в СГЛП

[Ковчегов Кирилли 2014](#)

■ нелинейное уравнение:

численное решение уравнения БК в ГЛП

[Маркет Соез 2006, Бергер Стасто 2010](#)

численное решение уравнения БК в СГЛП

[Лаппи Мантесаари 2015](#)

суммирование вкладов $\sim \beta$ во всех порядках - гсВК

[Балицкий 2007](#)

численное решение уравнения гсВК

[Албасете Арместо Милхано Ариас Салгадо 2010](#)

Решение линейного уравнения для рассеяния вперед

$$\frac{\partial \hat{G}}{\partial \eta} = \hat{K} \hat{G}, \quad \hat{G}|_{\eta=\eta_0} = \hat{1}, \quad \langle n\nu | \hat{K} | h\rho \rangle = \bar{\alpha} \chi(n, \rho) \delta_{nh} \delta(\rho - \nu)$$

η_0 — энергетический масштаб импакт фактора.

$$\bar{\alpha} = \alpha_s N_c / \pi, \quad \chi(n, \nu) = 2Re(\psi(1) - \psi((1+n)/2 + i\nu))$$

После свертки с импакт фактором $\langle n\nu | \hat{K} | \Phi \rangle$

$$\frac{\partial \langle n\nu | G | \Phi \rangle}{\partial \eta} = \bar{\alpha} \chi(n, \nu) \langle n\nu | G | \Phi \rangle, \quad \langle n\nu | G | \Phi \rangle \sim e^{\bar{\alpha} \chi(n, \nu) \eta}.$$

$$\langle \vec{r} | n\nu \rangle = \frac{1}{\pi \sqrt{2}} e^{in\phi} (\vec{r}^2)^{-\frac{1}{2} + i\nu}$$

Уравнение БФКЛ в СГП

- Ядро БФКЛ в квазиконформном виде в СГП имеет неконформный вклад $\sim \beta$

Фадин Липатов 1998

$$\begin{aligned}\langle n\nu|\hat{K}|h\rho\rangle &= \left[\bar{\alpha}\chi(n,\rho) + \frac{\bar{\alpha}^2}{4}\delta(n,\rho) \right] \delta_{nh}\delta(\rho-\nu) \\ &\quad - i\frac{\bar{\alpha}^2\beta}{4}\chi(n,\rho)\delta_{nh}\delta'(\rho-\nu),\end{aligned}$$

$\delta(n,\nu)$ содержит все вклады СГП без производных

- Для $\mathbf{G} = \chi\langle n\nu|\hat{G}|\Phi\rangle$ уравнение в частных производных

$$\frac{\partial \mathbf{G}}{\partial \eta} - i\frac{\bar{\alpha}^2\beta}{4}\chi(n,\nu)\frac{\partial \mathbf{G}}{\partial \nu} = \left[\bar{\alpha}\chi(n,\nu) + \frac{\bar{\alpha}^2}{4}\delta(n,\nu) \right] \mathbf{G}$$

$$\mathbf{G}_0 = \mathbf{G}|_{\eta=\eta_0} = \chi(n,\nu)\Phi_B(n,\nu)$$

Решение для рассеяния вперед в СГЛП

■ Решение

$$\mathbf{G} = \mathbf{G}_0(n, F^{-1}(F(\nu) + \Delta F)) \\ \times e^{-\frac{4i}{\bar{\alpha}\beta}(F^{-1}(F(\nu) + \Delta F) - \nu)} e^{-\frac{i}{\beta} \int_{\nu}^{F^{-1}(F(\nu) + \Delta F)} \frac{\delta(n, l)}{\chi(n, l)} dl}.$$

$$\Delta F = \frac{\bar{\alpha}^2 \beta i (\eta - \eta_0)}{4}, \quad F(\nu) = \int_{\nu_0}^{\nu} \frac{dl}{\chi(n, l)}.$$

■ в СГЛП

$$\langle n\nu | \hat{G} | \Phi \rangle = \left(\Phi_B(n, \nu) + \frac{\bar{\alpha}^2 \beta i}{4} [\Phi_B(n, \nu) \chi(n, \nu)]' \eta \right) \\ \times e^{\bar{\alpha} \chi(n, \nu)(\eta - \eta_0) + \frac{\bar{\alpha}^2}{4} \delta(n, \nu) \eta + \frac{\bar{\alpha}^3 \beta i}{8} \chi(n, \nu) \chi'(n, \nu) \eta^2}.$$

Вычисление импакт факторов

- $\gamma^* \rightarrow V$ в СГП в рамках подхода БФКЛ
- $\gamma^* \rightarrow \gamma^*$ в СГП в рамках ВЭОР
- $\gamma^* \rightarrow q\bar{q}g$ в ГП в рамках ВЭОР
- $\gamma^* \rightarrow q\bar{q}$ в СГП в рамках ВЭОР
- $\gamma^* \rightarrow V_L$ в СГП в рамках ВЭОР
произвольная кинематика: $\epsilon_{T,L}, t = 0, Q^2 = 0$

Иванов Коцкий Папа 2005

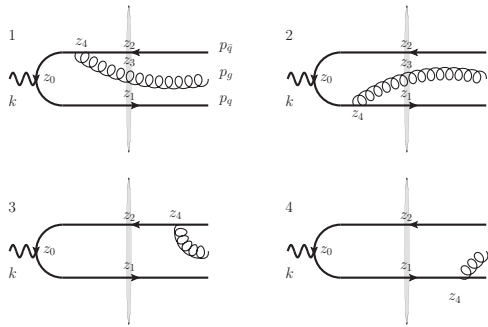
Балицкий Кирилли 2010

Буссари АГ Шимановский Валлон 2014

Буссари АГ Шимановский Валлон 2016

Буссари АГ Иванов Шимановский Валлон 2017

Фоторождение $q\bar{q}g$



$$\begin{aligned}
 M^\alpha &= \frac{N_c^2}{2} \int d\vec{z}_1 d\vec{z}_2 d\vec{z}_3 F_1(\vec{z}_1, \vec{z}_2, \vec{z}_3)^\alpha (\mathbf{U}_{13} + \mathbf{U}_{32} - \mathbf{U}_{12} + \mathbf{U}_{13}\mathbf{U}_{32}) \\
 &+ \int d\vec{z}_1 d\vec{z}_2 F_2(\vec{z}_1, \vec{z}_2)^\alpha (N_c^2 - 1) \mathbf{U}_{12}
 \end{aligned}$$

Импакт фактор фоторождения $q\bar{q}g$

Для продольно поляризованного фотона

$$F_{1L}(\vec{z}_1, \vec{z}_2, \vec{z}_3) = 2Qg \frac{e^{-i\vec{p}_q \cdot \vec{z}_1 - i\vec{p}_{\bar{q}} \cdot \vec{z}_2 - i\vec{p}_g \cdot \vec{z}_3}}{\pi \sqrt{2p_g^+}} K_0(QZ_{123}) \delta_{\lambda_q, -\lambda_{\bar{q}}} \\ \times \left\{ (x_{\bar{q}} + x_g \delta_{-s_g \lambda_q}) x_q \frac{\vec{z}_{32} \cdot \vec{\varepsilon}_g^*}{\vec{z}_{32}^2} - (x_q + x_g \delta_{-s_g \lambda_{\bar{q}}}) x_{\bar{q}} \frac{\vec{z}_{31} \cdot \vec{\varepsilon}_g^*}{\vec{z}_{31}^2} \right\} - (q \leftrightarrow \bar{q})$$

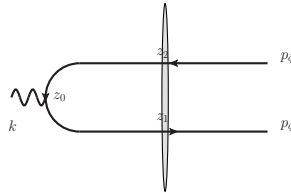
$$F_{2L}(\vec{z}_1, \vec{z}_2) = 4ig Q \frac{e^{-i\vec{p}_q \cdot \vec{z}_1 - i\vec{p}_{\bar{q}} \cdot \vec{z}_2}}{\sqrt{2p_g^+}} \delta_{\lambda_q, -\lambda_{\bar{q}}} \\ \times \frac{x_q (x_g + x_{\bar{q}}) (\delta_{-s_g \lambda_q} x_g + x_{\bar{q}})}{x_{\bar{q}} x_g} \frac{\vec{P}_{\bar{q}} \cdot \vec{\varepsilon}_g^*}{\vec{P}_{\bar{q}}^2} e^{-i\vec{p}_g \cdot \vec{z}_2} K_0(QZ_{122}) - (q \leftrightarrow \bar{q})$$

$$Z_{123} = \sqrt{x_q x_{\bar{q}} \vec{z}_{12}^2 + x_q x_g \vec{z}_{13}^2 + x_{\bar{q}} x_g \vec{z}_{23}^2}, \quad Z_{122} = \sqrt{x_q (1 - x_q) \vec{z}_{12}^2}$$

Импакт фактор $\gamma \rightarrow q\bar{q}$

Матричный элемент ЭМ тока

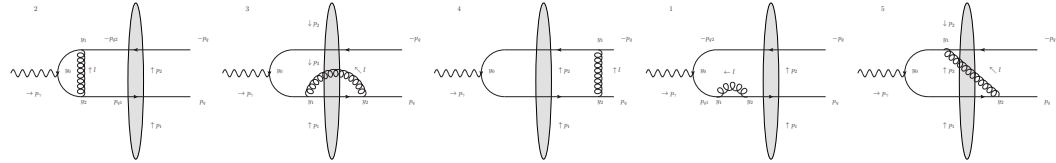
$$M_0^\alpha = \int d^d p_{1\perp} d^d p_{2\perp} \delta(p_{q1\perp} + p_{\bar{q}2\perp} - p_{\gamma\perp}) \Phi_0^\alpha [tr(U_1 U_2^\dagger) - N_c](p_{1\perp}, p_{2\perp})$$



Импакт фактор для продольно поляризованного фотона

$$\Phi_0^+ = \frac{2x\bar{x}p_\gamma^+}{\vec{p}_{q1}^2 + x\bar{x}Q^2} (\bar{u}_{p_q} \gamma^+ v_{p_{\bar{q}}})$$

Импакт фактор $\gamma \rightarrow q\bar{q}$ в СГП



$$M^\alpha = g \int d^d p_{1\perp} d^d p_{2\perp} \left\{ \delta(p_{q1\perp} + p_{\bar{q}2\perp} - p_{\gamma\perp}) \Phi_3^\alpha \frac{N_c^2 - 1}{N_c} [tr(U_1 U_2^\dagger) - N_c] \right.$$

$$\left. + \int \frac{d^d p_{3\perp}}{(2\pi)^d} \delta(p_{q1\perp} + p_{\bar{q}2\perp} - p_{\gamma\perp} - p_{3\perp}) \Phi_4^\alpha [tr(U_1 U_3^\dagger) tr(U_3 U_2^\dagger) - N_c tr(U_1 U_2^\dagger)] \right\}.$$

Дифракционное фоторождение 2 струй

- Произвольная кинематика:

$$\vec{p}_q, \vec{p}_{\bar{q}}, x, t, M_{q\bar{q}}^2, Q^2, \epsilon_{L/T}$$

- Матрица плотности для сечений:

$$d\sigma_{JI} = \begin{pmatrix} d\sigma_{LL} & d\sigma_{LT} \\ d\sigma_{TL} & d\sigma_{TT} \end{pmatrix}, \quad d\sigma_{TL} = d\sigma_{LT}^*.$$

- 2 адронных матр. элемента: диполь и двойной диполь

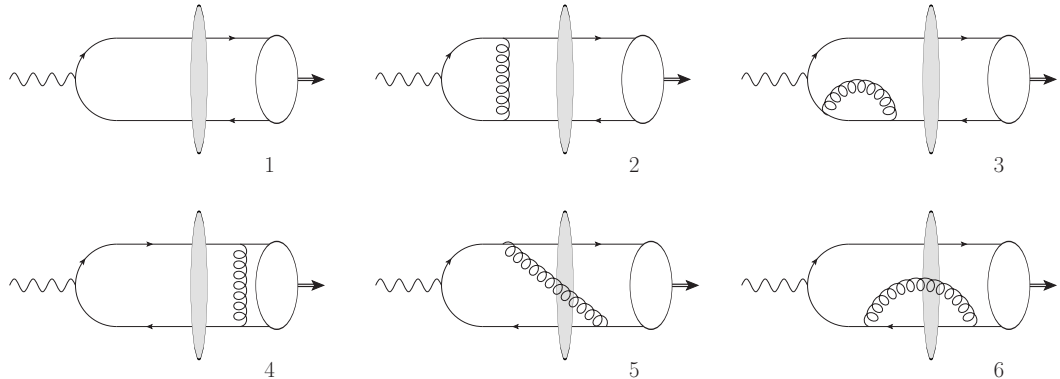
$$\langle p' | \textcolor{blue}{tr}(U_1 U_2^\dagger) - N_c | p \rangle, \quad \langle p' | \textcolor{red}{tr}(U_1 U_3^\dagger) tr(U_3 U_2^\dagger) - N_c tr(U_1 U_2^\dagger) | p \rangle$$

Сокращение сингулярностей

- УФ — сокращены в следствие тождеств Ворда ($Z_1 = Z_2$)
- по быстроте — сокращены контрчленом в виде свертки ядра БК и борновского ИФ
- промежуточные УФ — сокращены в свертке ИФ и вильсоновского оператора
- коллинеарные — устранены конусным алгоритмом $\Delta\phi^2 + \Delta Y^2 < R^2$
- мягкие — устранены введением минимальной наблюдаемой энергии струи $\omega_g < E$

$$\begin{aligned} d\sigma = d\sigma_0 \frac{\alpha_s}{\pi} \frac{N_c^2 - 1}{2N_c} & \left[\frac{1}{2} \ln \left(\frac{(x_j \vec{p}_j - x_{\bar{j}} \vec{p}_{\bar{j}})^4}{x_j^2 x_{\bar{j}}^2 R^4 \vec{p}_{\bar{j}}^2 \vec{p}_j^2} \right) \left(\ln \left(\frac{4E^2}{x_j x_{\bar{j}} (p_\gamma^+)^2} \right) + \frac{3}{2} \right) \right. \\ & + \ln(8) - \frac{1}{2} \ln \left(\frac{x_j}{x_{\bar{j}}} \right) \ln \left(\frac{x_j \vec{p}_j^2}{x_{\bar{j}} \vec{p}_{\bar{j}}^2} \right) + \frac{13 - \pi^2}{2} \left. \right] + d\sigma_{reg} \end{aligned}$$

Импакт фактор $\gamma^* \rightarrow V_L$



Амплитуда распределения φ твиста 2 :

$$\langle V_L(p_V) | \bar{\Psi}(y) \gamma^\mu \Psi(0) | 0 \rangle_{y^2 \rightarrow 0} = f_V p_V^\mu \int_0^1 dx e^{ix(p_V \cdot y)} \varphi(x, \mu_F)$$

Импакт фактор $\gamma^{(*)} \rightarrow V_L$

$$\begin{aligned}\mathcal{A}_{C\Gamma\Pi} = & -\frac{e_V f_V \varepsilon_\beta}{N_c} \int_0^1 dx \varphi(x, \mu_F) \frac{\alpha_s \Gamma(1-\epsilon)}{(4\pi)^{1+\epsilon}} \\ & \times \int \frac{d^d \vec{p}_{1,2,3}}{(2\pi)^{2d-1}} \delta(p_V^+ - p_\gamma^+) \delta(\vec{p}_V - \vec{p}_\gamma - \vec{p}_1 - \vec{p}_2 - \vec{p}_3) \\ & \times \left\{ \Phi_2^\beta(x, \vec{p}_1, \vec{p}_2, \vec{p}_3) \left[\text{Tr}(U_1 U_3^\dagger) \text{Tr}(U_3 U_2^\dagger) - N_c \text{Tr}(U_1 U_2^\dagger) \right] (\vec{p}_1, \vec{p}_2, \vec{p}_3) \right. \\ & \left. + 2 C_F \Phi_1^\beta(x, \vec{p}_1, \vec{p}_2) \left[\text{Tr}(U_1 U_2^\dagger) - N_c \right] (\vec{p}_1, \vec{p}_2) (2\pi)^d \delta(\vec{p}_3) \right\}.\end{aligned}$$

Вычислены:

$$\begin{aligned}\Phi_1^\beta(x, \vec{p}_1, \vec{p}_2) & - \text{ГП и СГП} \\ \Phi_2^\beta(x, \vec{p}_1, \vec{p}_2, \vec{p}_3) & - \text{СГП}\end{aligned}$$

Сравнение с результатами других подходов

- построена процедура восстановления полной формы калибровочно инвариантных операторов по их мебиусовской форме

Фадин Фиоре АГ 2012

↳ построена полная форма оператора, приводящего ядро БФКЛ к квазиконформному виду.

Связь Мебиусовского и полного представлений ядра БФКЛ

- Полная форма: ядро получено в импульсном пространстве из реджеонных вершин. Используется для рассеяния любых частиц.
- Мебиусовская форма: ядро для дипольного оператора. Получено в координатном пространстве методом ударных волн.
- Переход от полной формы к мебиусовской
 $\langle \vec{q}_1 \vec{q}_2 | \hat{K} | \vec{q}'_1 \vec{q}'_2 \rangle \rightarrow \langle \vec{r}_1 \vec{r}_2 | \hat{K}_M | \vec{r}'_1 \vec{r}'_2 \rangle$:
 - 1 Преобразование Фурье
 - 2 Отбрасыванье членов $\sim \delta(\vec{r}_{1'2'})$
 - 3 Добавление членов, не зависящих от \vec{r}_1 или \vec{r}_2 , чтобы $\langle \vec{r} \vec{r} | \hat{K}_M | \vec{r}'_1 \vec{r}'_2 \rangle = 0$

Фадин Фиоре Папа 2007

Восстановление полной формы по мебиусовской

- **Доказана** возможность восстановления и единственность результата при условиях:
 - 1 калибровочной инвариантности $K_r|_{\vec{q}'_1=0} = K_r|_{\vec{q}'_2=0} = 0$
 - 2 отсутствия членов $\sim \delta(\vec{q}_1)$ и $\delta(\vec{q}_2)$
- **Построена** процедура перехода
 - 1 Вычитание сингулярных членов при $\vec{r}_{1'2'} = 0$
 - 2 Преобразование Фурье
 - 3 Отбрасывание членов $\sim \delta(\vec{q}_1)$ и $\delta(\vec{q}_2)$
 - 4 Добавление членов, не зависящих от $\vec{k} = \vec{q}_1 - \vec{q}'_1$: $K_r|_{\vec{q}'_1=0} = K_r|_{\vec{q}'_2=0} = 0$
- **Построена** полная форма оператора, приводящего ядро БФКЛ к квазиконформному виду.

В результате работы получены:

- 1 Уравнение эволюции для барионной вильсоновской петли в ГП, СГП, его квазиконформная и линеаризованная формы.
- 2 Уравнения эволюции для квадрупольного и дважды дипольного операторов в СГП, их квазиконформная форма.
- 3 Решение уравнения БФКЛ в СГЛП для рассеяния вперед.
- 4 Импакт факторы эксклюзивного дифракционного фоторождения 2 струй в СГП, продольно поляризованного легкого векторного мезона в СГП, 3 струй в ГП в общей кинематике.
- 5 Процедура восстановления полной формы калибровочно инвариантного оператора по его мебиусовской форме.
- 6 Полная и мебиусовская формы оператора, приводящего полное ядро БФКЛ в СГП к квазиконформному виду.

Основные результаты опубликованы в следующих работах:

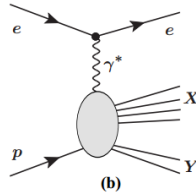
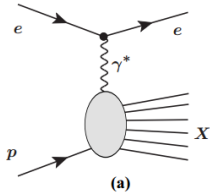
- 1 R. Boussarie, A. V. Grabovsky, L. Szymanowski, S. Wallon, Phys.Rev. D100 (2019) no.7, 074020.
- 2 R. Boussarie, A. V. Grabovsky, D. Y. Ivanov, L. Szymanowski, S. Wallon, Phys. Rev. Lett. 119 (2017) no.7, 072002.
- 3 R. Boussarie, A. V. Grabovsky, L. Szymanowski, S. Wallon, JHEP 1611 (2016) 149.
- 4 A. V. Grabovsky, JHEP 1509 (2015) 194.
- 5 I. Balitsky and A. V. Grabovsky, JHEP 1501 (2015) 009.
- 6 R. Boussarie, A. V. Grabovsky, L. Szymanowski, S. Wallon, JHEP 1409 (2014) 026.
- 7 A. V. Grabovsky, JHEP 1309 (2013) 141.
- 8 A. V. Grabovsky, JHEP 1309 (2013) 098.
- 9 R. E. Gerasimov and A. V. Grabovsky, JHEP 1304 (2013) 102.
- 10 V. S. Fadin, R. Fiore, A. V. Grabovsky and A. Papa, Nucl. Phys. B 856 (2012) 111.

Частичные результаты и доклады на конференциях опубликованы в следующих работах:

- 1 R. Boussarie, A. V. Grabovsky, L. Szymanowski and S. Wallon, hep-ph:1912.12434.
- 2 R. Boussarie, A. V. Grabovsky, D. Y. Ivanov, L. Szymanowski and S. Wallon, PoS DIS 2017 (2018) 062.
- 3 R. Boussarie, A. V. Grabovsky, L. Szymanowski and S. Wallon, AIP Conf. Proc. 1819 (2017) no.1, 030009.
- 4 R. Boussarie, A. Grabovsky, L. Szymanowski and S. Wallon, PoS DIS 2016 (2016) 170.
- 5 R. Boussarie, A. Grabovsky, L. Szymanowski and S. Wallon, Acta Phys. Polon. Supp. 8 (2015) 897.
- 6 R. Boussarie, A. V. Grabovsky, L. Szymanowski and S. Wallon, hep-ph:1511.02785.
- 7 A. Grabovskiy, PoS DIS 2015 (2015) 074.
- 8 R. Boussarie, A. V. Grabovsky, L. Szymanowski and S. Wallon, AIP Conf. Proc. 1654 (2015) no.1, 030005.
- 9 A. V. Grabovsky, Acta Phys. Polon. Supp. 7 (2014) no.3, 493.

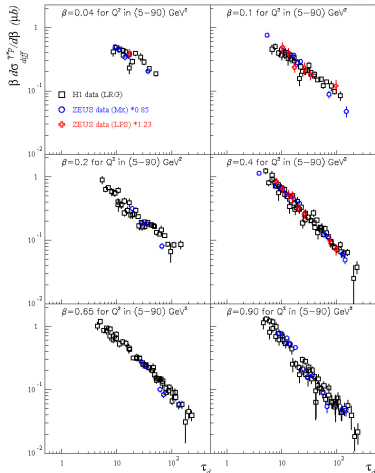
Дифракционные процессы

Наличие пробела по быстроте между X и Y



$$\beta = \frac{Q^2}{2(p - p')q}$$

$$x_P = x/\beta < 0.01$$



Сильные глюонные поля

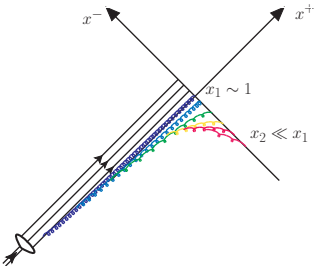
насыщение $\rho_{glue} \sigma \sim 1 \implies \frac{xG}{\pi R_h^2} \sim \frac{Q_s^2}{\alpha_s}$ $\frac{dN}{d^2 k} = \frac{d\mathcal{N}}{d \ln \frac{1}{x} d^2 k}$

$$xG(x, Q_s^2) \sim \int dx^- \langle P | F^{i+} F_i^+ | P \rangle \sim \int^{Q_s^2} dk_\perp \frac{d\mathcal{N}}{d \ln \frac{1}{x} d^2 k}$$
$$\sim \pi R_h^2 \mathcal{A}^2 \quad \sim Q_s^2 \pi R_h^2 N$$

- \implies
- сильные глюонные поля $\mathcal{A} \sim \frac{Q_s}{g(Q_s)}$
 - **кинетическая** энергия в $\mathcal{L} \sim$ потенциальной: $\partial^2 \mathcal{A}^2 \sim g^2 \mathcal{A}^4$
 - большие числа заполнения $N \sim \frac{1}{\alpha_s}$
 - малые **квантовые** эффекты $N \sim \langle a^+ a \rangle \sim \frac{1}{\alpha_s} \gg \langle [a^+ a] \rangle \sim 1$

Конденсат цветного стекла (КЦС)

Ядро в системе ∞
импульса



для партонов с $p = (xP^+, \frac{\vec{k}^2}{2xP^+}, \vec{k})$:

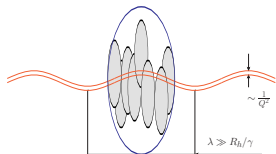
$\Delta x^- \sim \frac{1}{xP^+}$ — светоконусная длина взаимодействия
 $\Delta x^+ \sim \frac{2xP^+}{\vec{k}^2}$ — светоконусная время взаимодействия

$$\Delta x_1^- \ll \Delta x_2^-, \quad \Delta x_1^+ \gg \Delta x_2^+$$

Мягкие партоны (x_2) воспринимают жесткие (x_1) как замороженные точечные $\sim \delta(x^-)$ классические цветовые заряды

Модель МакЛеррана - Венугопалана (MB)

МВ: заряды — валентные кварки \Rightarrow



- продольное разрешение $\lambda \sim \frac{1}{xP^+} \gg R_h \frac{m_p}{P^+} \implies x \ll A^{-1/3}$
- поперечное разрешение $Q^2 \sim 1/S_\perp \gg \Lambda_{QCD}^2$
- плотность валентных кварков $n \sim \frac{N_c A}{\pi R_h^2} \sim \frac{N_c A}{\pi R_p^2 A^{2/3}} \sim \Lambda_{QCD}^2 A^{1/3} \gg \Lambda_{QCD}^2$
- $\implies \frac{1}{x} \gg A^{1/3} \gg \frac{Q^2}{\Lambda_{QCD}^2} \gg 1, n \sim Q_s^2$

$$\langle Q^a \rangle = 0, \quad \langle Q^a Q^b \rangle = \delta^{ab} n S_\perp g^2 C_F = \delta^{ab} \frac{N_c A}{Q^2 \pi R_h^2} g^2 C_F$$

- партоны с $x \sim 1$ создают ток $J^{\mu a} = \delta^{\mu+} \delta(x^-) \rho^a(x^-, x_\perp)$:
$$Q^a = \int_{S_\perp} dx_\perp dx^- \rho^a$$
- партоны с $x \ll 1$ — решения $D_\mu F^{\mu\nu a} = J^{\nu a}$
- Гауссовское распределение зарядов $W[\rho] = N \cdot \exp[-\int dx^- dx_\perp \frac{\rho^a(x^-, x_\perp) \rho^a(x^-, x_\perp)}{2\mu^2(x^-)}]$,

$$\int dx^- \mu^2(x^-) = \frac{g^2 A}{2\pi R_h^2}$$
- наблюдаемые вычисляются усреднением: $\langle O[\mathcal{A}] \rangle = \int \mathcal{D}\rho W[\rho] O[\mathcal{A}[\rho]]$

Эффективная теория КЦС, уравнения JIMWLK

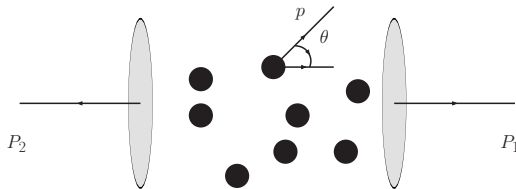
- модель МВ: $W[\rho] \rightarrow W_{\Lambda^+}[\rho]$, $\Lambda^+ \sim P^+$, заряды с $k^+ > \Lambda^+$, поля с $k^+ = xP^+ < \Lambda^+$
 $W_{\Lambda^+} = W_\eta$, $\eta = \ln \frac{P^+}{\Lambda^+}$, $e^{-\eta} \sim 1$, заряды с $x > e^{-\eta}$, поля с $x < e^{-\eta}$
- поля с малым x квантовые $\langle O[\mathcal{A}] \rangle = \int D\rho W_{\Lambda^+}[\rho] \left\{ \frac{\int_{\Lambda^+} D\mathcal{A} e^{iS[\mathcal{A}, \rho]} O[\mathcal{A}]}{\int_{\Lambda^+} D\mathcal{A} e^{iS[\mathcal{A}, \rho]}} \right\}$
- при $\alpha_s \ln \frac{\Lambda^+}{k^+} \sim \alpha_s \ln \frac{1}{x} \sim 1$ излучение глюона \implies новый заряд для мод мягче k^+
- уравнение эволюции: $\frac{\partial W_\eta[\rho]}{\partial \eta} = \mathcal{H}_{JIMWLK} W_\eta[\rho]$, начальные условия: $W_0 = W_{MV}$

Наблюдаемые:

- множественности, спектры в pp, pA, AA столкновениях ...
- дифференциальное и дифракционное сечения в ер сполкновениях...
- ...

Кинематика

$$P_1^+ \sim P_2^- \sim \sqrt{s}, \quad P_1^- \sim P_2^+ \sim \frac{M^2}{\sqrt{s}}$$



псевдобыстрота

$$\eta = -\ln \operatorname{tg} \frac{\theta}{2} = \frac{1}{2} \ln \frac{p + p_z}{p - p_z}$$

для $m = 0$: $y = \eta$

Рождение частиц в центральной области быстрот отражает свойства волновых функций сталкивающихся частиц при малых x

светоконусные переменные:

$$p^\pm = \frac{1}{\sqrt{2}}(p^0 \pm p^3), \quad m^2 = 2p^+p^- - p_\perp^2$$

доля продольного импульса

$$x = \frac{p^+}{P_1^+}, \quad \frac{p_\perp}{\sqrt{2}P_1^+} \leq x \leq 1$$

быстрота

$$y = \frac{1}{2} \ln \frac{p^+}{p^-} = \frac{1}{2} \ln \frac{2(p^+)^2}{p_\perp^2} = y_1 - \ln \frac{1}{x} + \ln \frac{M}{p_\perp}$$

$$y_1 - y \simeq \ln \frac{1}{x}$$

Сокращение коллинеарной расходимости

Контрчлен для дипольного вклада в СГП

$$\tilde{\Phi}_1^\beta(x, \mu_F) = - \int_0^1 dz \mathcal{K}(z, x) \left[\frac{1}{\epsilon} + \ln \left(\frac{\mu_F^2}{\mu^2} \right) \right] \Phi_0^\beta(z)$$

$\mathcal{K}(x, z)$ — ядро уравнения Ефремова-Радюшкина-Бродского-Лепажа

$$\frac{\partial \varphi(x, \mu_F)}{\partial \ln \mu_F^2} = \frac{\alpha_s C_F}{2\pi} \frac{\Gamma(1-\epsilon)}{(4\pi)^\epsilon} \left(\frac{\mu_F^2}{\mu^2} \right)^\epsilon \int_0^1 dz \varphi(z, \mu_F) \mathcal{K}(x, z)$$

Лепаж Бродский 1979, Ефремов Радюшкин 1980

$$\begin{aligned} \mathcal{K}(x, z) &= \frac{1-x}{1-z} \left(1 + \left[\frac{1}{x-z} \right]_+ \right) \theta(x-z) \\ &+ \frac{x}{z} \left(1 + \left[\frac{1}{z-x} \right]_+ \right) \theta(z-x) + \frac{3}{2} \delta(z-x) \end{aligned}$$

Подход БФКЛ

Ядро БФКЛ в операторной форме

$$\hat{\mathcal{K}} = \hat{\omega}_1 + \hat{\omega}_2 + \hat{\mathcal{K}}_r$$

ω — реджевская траектория глюона

$\hat{\mathcal{K}}_r$ — реальная часть ядра

Скачок амплитуды в **s**-канале для процесса $A + B \rightarrow A' + B'$:

$$-4i(2\pi)^{D-2}\delta(\vec{q}_A - \vec{q}_B)\text{disc}_s \mathcal{A}_{AB}^{A'B'} = \langle A'\bar{A}|e^{Y\hat{\mathcal{K}}}|\bar{B}'B\rangle$$

$$Y = \ln(s/Q^2), \quad q_A = p_{A'} - p_A, \quad q_B = p_B - p_{B'}$$

$\langle A'\bar{A}|, |\bar{B}'B\rangle$ — импакт факторы

Мебиусовская форма ядра БФКЛ

— это ядро в координатном представлении, упрощенное для рассеяния бесцветных частиц:

- цветовая прозрачность

$$\langle A' \bar{A} | \psi \rangle = 0, \quad \text{если} \quad \langle \vec{q}_1, \vec{q}_2 | \psi \rangle \sim \delta(\vec{q}_1) \text{ или } \delta(\vec{q}_2),$$

т.е. в координатном представлении $\langle \vec{r}_1 \vec{r}_2 | \psi \rangle$ не зависит от \vec{r}_1 или \vec{r}_2 .

- реальная часть ядра $= 0$, если импульс входящего реджеона $= 0$

$$\langle \vec{q}_1, \vec{q}_2 | \hat{\mathcal{K}}_r | \vec{q}'_1, \vec{q}'_2 \rangle |_{\vec{q}'_i \rightarrow 0} \rightarrow 0.$$

- Следовательно

$$\langle A' \bar{A} | \hat{\mathcal{K}} | \psi \rangle = 0, \quad \text{если} \quad \langle \vec{q}_1, \vec{q}_2 | \psi \rangle \sim \delta(\vec{q}_1) \text{ или } \delta(\vec{q}_2)$$

($\langle \vec{r}_1 \vec{r}_2 | \psi \rangle$ не зависит от \vec{r}_1 или \vec{r}_2), т.е. ядро сохраняет свойство импакт фактора падающей частицы.

Мебиусовская форма

- Следовательно второй импакт фактор можно изменить, не меняя скачок, добавив члены не зависящие от одной из координат \vec{r}_1 или \vec{r}_2 , приведя его к дипольной форме

$$\langle \vec{r}', \vec{r}' | \bar{B}' B \rangle_d = 0 .$$

с помощью преобразования

$$\begin{aligned} & \langle \vec{r}_1', \vec{r}_2' | \bar{B}' B \rangle \rightarrow \\ & \langle \vec{r}_1', \vec{r}_2' | \bar{B}' B \rangle_d = (\langle \vec{r}_1', \vec{r}_2' | - 1/2\langle \vec{r}_1', \vec{r}_1' | - 1/2\langle \vec{r}_2', \vec{r}_2' |) | \bar{B}' B \rangle . \end{aligned}$$

- Ядро в координатном представлении имеет вид

$$\langle \vec{r}_1 \vec{r}_2 | \hat{K} | \vec{r}_1' \vec{r}_2' \rangle = A(\vec{r}_1, \vec{r}_2; \vec{r}_1', \vec{r}_2') + \delta(\vec{r}_{1'2'}) D(\vec{r}_1, \vec{r}_2; \vec{r}_1', \vec{r}_2'),$$

где в A нет $\delta(\vec{r}_{1'2'})$. Добавив члены, не зависящие от \vec{r}_1 или \vec{r}_2 можно добиться, чтобы A равнялось 0 при $\vec{r}_1 = \vec{r}_2$.

Мебиусовская форма ядра

- Indeed, $\langle \mathbf{A}' \bar{\mathbf{A}} | \hat{\mathcal{K}}^n \rangle \rightarrow \langle \mathbf{A}' \bar{\mathbf{A}} | (\hat{\mathcal{K}} + \hat{\mathcal{C}})^n \rangle$, where $\hat{\mathcal{C}}$ – is the operator with matrix element independent of \vec{r}_1 or of \vec{r}_2 . Expanding we get all terms with $\hat{\mathcal{C}}$ have $\langle \mathbf{A}' \bar{\mathbf{A}} | \hat{\mathcal{C}} = \mathbf{0}$ or $\langle \mathbf{A}' \bar{\mathbf{A}} | \hat{\mathcal{K}}^m \hat{\mathcal{C}} = \mathbf{0}$.
- After this the kernel can be rewritten as

$$\hat{\mathcal{K}} \rightarrow \hat{\mathcal{K}}_m + \hat{\mathcal{D}},$$

where the matrix element $\hat{\mathcal{K}}_m$ is equal to 0 when $\vec{r}_1 = \vec{r}_2$, and the matrix element $\hat{\mathcal{D}}$ has $\delta(\vec{r}_{1'2'})$.

- the operator $\hat{\mathcal{D}}$ can be dropped without changing the discontinuity because in $(\hat{\mathcal{K}}_m + \hat{\mathcal{D}})^n | \bar{\mathbf{B}}' \mathbf{B} \rangle_d$ all terms with $\hat{\mathcal{D}}$ have

$$\hat{\mathcal{D}} | \bar{\mathbf{B}}' \mathbf{B} \rangle_d = \mathbf{0} \quad \text{or} \quad \hat{\mathcal{D}} (\hat{\mathcal{K}}_m)^k | \bar{\mathbf{B}}' \mathbf{B} \rangle_d = \mathbf{0}.$$

After all these manipulations we get the kernel $\hat{\mathcal{K}}_m$, which is called dipole or Möbius.

Möbius form of the kernel

So, to find the Möbius form of the kernel one has to pass the following steps:

- Fourier transform the kernel into the coordinate space

$$\langle \vec{r}_1 \vec{r}_2 | \hat{\mathcal{K}} | \vec{r}'_1 \vec{r}'_2 \rangle = \int \frac{d^2 q_{1,2,1',2'}}{(2\pi)^4} \langle \vec{q}_1, \vec{q}_2 | \hat{\mathcal{K}} | \vec{q}'_1, \vec{q}'_2 \rangle e^{i[\vec{q}_1 \cdot \vec{r}_1 + \vec{q}_2 \cdot \vec{r}_2 - \vec{q}'_1 \cdot \vec{r}'_1 - \vec{q}'_2 \cdot \vec{r}'_2]} .$$

- Drop all terms proportional to $\delta(\vec{r}_{1'2'})$.
- Add to the kernel some terms independent of \vec{r}_1 or of \vec{r}_2 so that the kernel acquires the “dipole” property $\langle \vec{r} \cdot \vec{r} | \hat{\mathcal{K}} | \vec{r}'_1 \vec{r}'_2 \rangle = 0$.

After all these transformations in LO one gets the dipole evolution kernel

$$\langle \vec{r}_1 \vec{r}_2 | \hat{\mathcal{K}}_m^{LO} | \vec{r}'_1 \vec{r}'_2 \rangle = \frac{\alpha_s N_c}{2\pi^2} \int d\vec{\rho} \frac{\vec{r}_{12}^2}{\vec{r}_{1\rho}^2 \vec{r}_{2\rho}^2} \left[\delta(\vec{r}_{11'}) \delta(\vec{r}_{2'\rho}) + \delta(\vec{r}_{1'\rho}) \delta(\vec{r}_{22'}) - \delta(\vec{r}_{11'}) \delta(r_{22'}) \right]$$

Here $\vec{r}_{i\rho} = \vec{r}_i - \vec{\rho}$.

Freedom in the definition of the kernel

The discontinuity $\text{disc}_s \mathcal{A}_{AB}^{A'B'}$

$$-4i(2\pi)^{D-2}\delta(\vec{q}_A - \vec{q}_B)\text{disc}_s \mathcal{A}_{AB}^{A'B'} = \langle A'\bar{A}| \left(\frac{s}{s_0}\right)^{\hat{\mathcal{K}}} |\bar{B}'B\rangle$$

does not change if one changes the kernel via a nonsingular operator $\hat{\mathcal{O}}$,

$$\hat{\mathcal{K}} \rightarrow \hat{\mathcal{O}}^{-1} \hat{\mathcal{K}} \hat{\mathcal{O}}, \quad \langle A'\bar{A}| \rightarrow \langle A'\bar{A}| \hat{\mathcal{O}}, \quad |\bar{B}'B\rangle \rightarrow \hat{\mathcal{O}}^{-1} |\bar{B}'B\rangle.$$

In LO this operator is fixed by the requirement that LO BFKL kernel equals LO BK kernel. After fixing $\hat{\mathcal{O}}$ in the leading order, there is residual freedom $\hat{\mathcal{O}} = 1 - \hat{O}$, where $\hat{O} \sim g^2$. In NLO after these transformations we get

$$\hat{\mathcal{K}} \rightarrow \hat{\mathcal{K}} - [\hat{\mathcal{K}}^{(B)}, \hat{O}],$$

where $\hat{\mathcal{K}}^{(B)}$ — is LO kernel.

Operator to eliminate the difference of BFKL and BK kernels



$$\begin{aligned} \langle \vec{q}_1, \vec{q}_2 | \hat{O} | \vec{q}_1', \vec{q}_2' \rangle &= \langle \vec{q}_1, \vec{q}_2 | -\frac{1}{2} \hat{\mathcal{K}}_r^B \ln \hat{q}_{11'}^2 | \vec{q}_1', \vec{q}_2' \rangle \\ &+ \frac{\alpha_s N_c}{4\pi^2} \delta(\vec{q}_{22'}) \delta(\vec{q}_{11'}) \int d^{2+2\epsilon} k \ln \vec{k}^2 \left(\frac{2}{\vec{k}^2} - \frac{\vec{k}(\vec{k} - \vec{q}_1)}{\vec{k}^2(\vec{k} - \vec{q}_1)^2} - \frac{\vec{k}(\vec{k} - \vec{q}_2)}{\vec{k}^2(\vec{k} - \vec{q}_2)^2} \right). \end{aligned}$$

- With this operator the Möbius form of the transformed kernel

$$\hat{\mathcal{K}} - [\hat{\mathcal{K}}^B, \hat{O}],$$

coincides with the BK kernel (2010).

Quasi-conformal kernel

Transition to the composite dipole operators of Balitsky and Chirilli equivalent to the transformation of the kernel with the operator

$$\hat{\mathcal{K}} \rightarrow \hat{\mathcal{K}}^{QC} = \hat{\mathcal{K}} - [\hat{\mathcal{K}}^B, O_1],$$

where

$$\begin{aligned} & \langle \vec{r}_1 \vec{r}_2 | \hat{O}_{1M} | \vec{r}'_1 \vec{r}'_2 \rangle = \\ &= \frac{\alpha_s(\mu) N_c}{4\pi^2} \int d\vec{\rho} \frac{\vec{r}_{12}^2}{\vec{r}_{1\rho}^2 \vec{r}_{2\rho}^2} \ln \left(\frac{\vec{r}_{12}^2}{\vec{r}_{1\rho}^2 \vec{r}_{2\rho}^2} \right) \left[\delta(\vec{r}_{11'}) \delta(\vec{r}_{2'\rho}) + \delta(\vec{r}_{1'\rho}) \delta(\vec{r}_{22'}) - \delta(\vec{r}_{11'}) \delta(r_{22'}) \right], \end{aligned}$$

It kills all nonconformal terms in the kernel which are not related to renormalization.

Restoration of full form from Möbius form

- Is it possible to restore the full kernel in the momentum space from its Möbius form in the coordinate space? Will it be unique?
- Yes, if we demand
 - gauge invariance

$$\mathcal{K}_r(\vec{q}_1, \vec{q}_2; \vec{k} = \vec{q}_1) = \mathcal{K}_r(\vec{q}_1, \vec{q}_2; \vec{k} = -\vec{q}_2) = 0.$$

- absence of terms proportional to $\delta(\vec{q}_1)$ or $\delta(\vec{q}_2)$ in the kernel. It fixes the residual freedom connected with such terms.

Restoration of full form from Möbius form

- Fourier transform into momentum space

$$\begin{aligned} \langle \vec{q}_1, \vec{q}_2 | \hat{\mathcal{K}}_M | \vec{q}'_1, \vec{q}'_2 \rangle &= \int \frac{d\vec{r}_1}{2\pi} \frac{d\vec{r}_2}{2\pi} \frac{d\vec{r}'_1}{2\pi} \frac{d\vec{r}'_2}{2\pi} e^{-i\vec{q}_1 \cdot \vec{r}_1 - i\vec{q}_2 \cdot \vec{r}_2 + i\vec{q}'_1 \cdot \vec{r}'_1 + i\vec{q}'_2 \cdot \vec{r}'_2} \langle \vec{r}_1, \vec{r}_2 | \hat{\mathcal{K}}_M | \vec{r}'_1, \vec{r}'_2 \rangle \\ &= \delta(\vec{q}_1 + \vec{q}_2 - \vec{q}'_1 - \vec{q}'_2) \mathcal{K}_M(\vec{q}_1, \vec{q}_2; \vec{k}), \end{aligned}$$

where $\vec{k} = \vec{q}_1 - \vec{q}'_1 = \vec{q}'_2 - \vec{q}_2$ and

$$\mathcal{K}_M(\vec{q}_1, \vec{q}_2; \vec{k}) = \int \frac{d\vec{r}_{11'}}{2\pi} \frac{d\vec{r}_{22'}}{2\pi} d\vec{r}_{1'2'} e^{-i\vec{q}_1 \cdot \vec{r}_{11'} - i\vec{q}_2 \cdot \vec{r}_{22'} - i\vec{k} \cdot \vec{r}_{1'2'}} \langle \vec{r}_1, \vec{r}_2 | \hat{\mathcal{K}}_M | \vec{r}'_1, \vec{r}'_2 \rangle$$

- subtract singularity at $\vec{r}_{1'2'} = 0$.

$$\begin{aligned} \mathcal{K}_M(\vec{q}_1, \vec{q}_2; \vec{k})_- &= \int \frac{d\vec{r}_{11'}}{2\pi} \frac{d\vec{r}_{22'}}{2\pi} d\vec{r}_{1'2'} e^{-i\vec{q}_1 \cdot \vec{r}_{11'} - i\vec{q}_2 \cdot \vec{r}_{22'} - i\vec{k} \cdot \vec{r}_{1'2'}} \langle \vec{r}_1, \vec{r}_2 | \hat{\mathcal{K}}_M^{NS} | \vec{r}'_1, \vec{r}'_2 \rangle \\ &\quad + \int \frac{d\vec{r}_{11'}}{2\pi} \frac{d\vec{r}_{22'}}{2\pi} d\vec{r}_{1'2'} e^{-i\vec{q}_1 \cdot \vec{r}_{11'} - i\vec{q}_2 \cdot \vec{r}_{22'}} (e^{-i\vec{k} \cdot \vec{r}_{1'2'}} - 1) \langle \vec{r}_1, \vec{r}_2 | \hat{\mathcal{K}}_M^S | \vec{r}'_1, \vec{r}'_2 \rangle. \end{aligned}$$

Restoration of full form from Möbius form

- since

$$\begin{aligned}\mathcal{K}_M(\vec{q}_1, \vec{q}_2; \vec{k})_- &= \mathcal{K}(\vec{q}_1, \vec{q}_2; \vec{k})_- \\ &\quad - \delta(\vec{q}_2) f_1(\vec{q}_1, \vec{q}_2, \vec{k}) - \delta(\vec{q}_1) f_2(\vec{q}_1, \vec{q}_2, \vec{k}),\end{aligned}$$

we should drop all terms proportional to $\delta(\vec{q}_1), \delta(\vec{q}_2)$ to get $\mathcal{K}(\vec{q}_1, \vec{q}_2; \vec{k})_-$.

- finally, to get the full kernel we should add to $\mathcal{K}(\vec{q}_1, \vec{q}_2; \vec{k})_-$ some terms independent of \vec{k} so that

$$\mathcal{K}_r(\vec{q}_1, \vec{q}_2; \vec{k} = \vec{q}_1) = \mathcal{K}_r(\vec{q}_1, \vec{q}_2; \vec{k} = -\vec{q}_2) = 0.$$

Restoration of full form from Möbius form

- Suppose we have two full kernels with the same Möbius form. Then their difference will have zero Möbius form and

$$\langle \vec{r}_1 \vec{r}_2 | \hat{\mathcal{K}}^{(1)} | \vec{r}'_1 \vec{r}'_2 \rangle - \langle \vec{r}_1 \vec{r}_2 | \hat{\mathcal{K}}^{(2)} | \vec{r}'_1 \vec{r}'_2 \rangle \sim \delta(\vec{r}_1, \vec{r}_2)$$

i.e. the full kernels can differ only in terms independent of \vec{k} in the real part.

- On the other hand, gauge invariance requires turning the difference $\mathcal{K}^{(1)}(\vec{q}_1, \vec{q}_2; \vec{k}) - \mathcal{K}^{(2)}(\vec{q}_1, \vec{q}_2; \vec{k})$ into zero at $\vec{k} = \vec{q}_1$ and at $\vec{k} = -\vec{q}_2$. Therefore, it is zero identically.

Full form for O_1

- Using this procedure we restored the full form for matrix element of O_1 in the momentum space

$$\begin{aligned}
 \langle \vec{q}_1, \vec{q}_2 | \alpha_s \hat{O}_1 | \vec{q}_1', \vec{q}_2' \rangle = & \delta(\vec{q}_{11'} + \vec{q}_{22'}) \frac{\alpha_s N_c}{4\pi^2} \left[\frac{2}{\vec{k}^2} \ln(\vec{k}^2) + \frac{1}{\vec{q}_1^2} \ln \left(\frac{\vec{q}_1'^2 \vec{q}_2^2}{\vec{k}^2 \vec{q}^2} \right) \right. \\
 & + \frac{1}{\vec{q}_2^2} \ln \left(\frac{\vec{q}_2'^2 \vec{q}_1^2}{\vec{k}^2 \vec{q}^2} \right) + \frac{1}{\vec{k}^2} \ln \left(\frac{\vec{q}_1'^2 \vec{q}_2'^2}{\vec{q}_1^2 \vec{q}_2^2} \right) - 2 \frac{\vec{q}_1 \vec{k}}{\vec{k}^2 \vec{q}_1^2} \ln(\vec{q}_1'^2) + 2 \frac{\vec{q}_2 \vec{k}}{\vec{k}^2 \vec{q}_2^2} \ln(\vec{q}_2'^2) \\
 & \left. - 2 \frac{\vec{q}_1 \vec{q}_2}{\vec{q}_1^2 \vec{q}_2^2} \ln(\vec{q}^2) \right] - \frac{\alpha_s N_c}{4\pi^2} \delta(\vec{q}_{22'}) \delta(\vec{q}_{11'}) \int d\vec{l} \ln \vec{l}^2 \left(\frac{2}{\vec{l}^2} - \frac{\vec{l}(\vec{l} - \vec{q}_1)}{\vec{l}^2 (\vec{l} - \vec{q}_1)^2} \right. \\
 & \left. - \frac{\vec{l}(\vec{l} - \vec{q}_2)}{\vec{l}^2 (\vec{l} - \vec{q}_2)^2} \right) - (\psi(1) + \ln 2) \langle \vec{q}_1, \vec{q}_2 | \hat{\mathcal{K}}^B | \vec{q}_1', \vec{q}_2' \rangle ,
 \end{aligned}$$